

第14篇 萃取及浸取

编写人 李以圭 崔秉懿 于静芬

李 洲 沈忠耀 费维扬

尤大钺 吴志泉 章寿华

沈祖钩

审校人 苏元复 汪家鼎 陈家镛

2015/02/05

第一部分 液-液 萃 取

14.1 引 言

14.1.1 液-液萃取过程

液液萃取，也称溶剂萃取，又称抽提。它是分离和提纯物质的重要单元操作之一。在液态混合物（溶液）中加入与其不完全混溶的液体为溶剂，造成第二液相；利用溶液（第一液相）中各组份在两液相之间不同的分配关系，可以按相际传递过程把它们分离开来。

因此，液液萃取必然牵涉到两个液相间的热力学平衡关系和相际间的传质速率问题；如萃取过程还涉及化学反应，也必须考虑化学动力学问题。

液液萃取分为物理萃取和化学萃取。物理萃取基本上是不涉及化学反应的物质传递过程，尤其在石油化工中，应用比较广泛。化学萃取主要应用于金属的提取和分离，如有色金属、贵金属及稀土金属的湿法冶炼。由于它具有可连续操作，分离效果好等特点，因此比传统的沉淀法，离子交换法为优越；一般它系在常温下操作，能耗很少，因而往往较蒸馏法有利，所以在工业中的应用也越来越广泛。

液液萃取主要应用在以下几种情况：

1. 溶液中各组分的沸点非常接近，也即各组分的相对挥发度接近于一，用蒸馏方法很不经济。
2. 溶液中含有大量低沸点的物质，或者低沸点组分的汽化潜热较大，用蒸馏方法回收时，需要消耗的热量很大。
3. 溶液中某些组分形成恒沸物，用蒸馏方法难以分离。
4. 溶液中要回收的组分，属于热敏性物质，蒸馏时容易分解、聚合或发生其他化学变化。
5. 提取很稀溶液中的有价物质，如提取浸取液中的铀，回收每升仅含2克左右的麻黄草浸渍液中的麻黄素。
6. 分离极难分离的金属，如 锇与 铟、 钽与 钽等。

14.1.2 液-液萃取过程应用于无机物质的分离

早在十九世纪人们就知道可用溶剂以萃取某些无机化合物，如1842年Peligot用二乙醚萃取硝酸铀酰，1892年Rothe和Hanroit用乙醚萃取盐酸中的铁。本世纪四十年代以来，由于原子能工业的发展，大量研究工作，集中于铀、钍、钚及有关金属的萃取^[2-9]。

铀是在工业上第一个使用萃取法提取和纯化的金属，目前溶剂萃取法几乎完全取代了传统的化学沉淀法。最先应用的萃取剂为磷酸三丁酯（TBP），其后又使用二-乙基己基磷酸（D₂EHPA）-磷酸三丁酯为萃取剂、煤油为稀释剂的Dapex流程，和使用胺类为萃取剂（如三辛胺）的Amex流程。

用MIBK从含有硫氰酸盐的盐酸溶液中萃取 铑是 铑、 铂萃取分离中首先研究成功，在工

业上得到应用的方法，其次使用TBP在硝酸及硝酸盐溶液中进行萃取分离，也已工业化。萃取已能用于分离稀土，以及回收铟、锗、镉、镓、铊、钪、铌、钽等稀有金属。

有色冶金逐渐成为溶剂萃取应用的重要领域。目前一般认为，只要价格与铜相当或超过铜价格的有色金属，都有可能用溶剂萃取方法进行提取。世界铜的年产量达1000万吨，由于矿石品位降低，因此用溶剂萃取从铜的浸取液中提取铜，是七十年代湿法冶炼中的一项重要成就。目前铜的萃取剂有LIX63, LIX64, LIX65N和Kelex100, Kelex120等螯合萃取剂。此外，萃取也应用于钴、镍、钨、钼等元素的生产过程。随着萃取技术的发展和新型萃取剂的不断出现，萃取在湿法冶炼中将会得到更为广泛的应用。

萃取也应用于提取无机酸，如从磷矿石浸取液中用C₄-C₅醇或其他溶剂萃取磷酸，从硼矿石浸取液中用2-乙基己醇、二元醇或多元醇萃取硼。

无机物质分离所用的萃取剂主要分为四类即：

1. 中性络合萃取剂；
2. 阳离子萃取剂；
3. 阴离子萃取剂；
4. 融合萃取剂；

Bailes报道了金属萃取中的重要的萃取剂，萃取剂的结构及其应用方面^[5]，李以圭等也汇编了常用萃取剂^[9]。

有关无机工业中液液萃取应用的主要方面，如表1-1所示。

表1-1 无机工业中液-液萃取过程的应用

料 液	萃 取 剂	萃 取 物	备 注
低品位矿石硫酸浸取液	仲和叔胺	铀 盐	Amex法[4,8]
矿石浸取液	2-乙基己基磷酸及 磷酸三丁酯煤油液	铀 盐	Dapex法[4,8]
铀的硝酸溶液	20%磷酸三丁酯	UO ₂ (NO ₃) ₂	提纯铀[4,8]
独居石浸取液	TBP-煤油 TBP二甲苯液 二元(十三烷)胺	UO ₂ (NO ₃) ₂ Th(NO ₃) ₄ 稀 土	[4,34]
锆铪溶液	TBP MIBK D ₂ EHPA N235	铪	[4,8]
铌钽混合氟化物	TBP MIBK 三辛胺	钽	[4,8]
含镓的碱性滤液	Kelex100	镓	[46]
铜矿浸取液	LIX64, Kelex100等	铜	[5,8]

续表

料 液	萃 取 剂	萃 取 物	备 注
其他 磷矿石分解后的粗磷酸液	C ₄ ~C ₈ 醇 二丁基亚砜 (DBSO)	磷酸	[10,13]
硼镁矿盐酸浸取液	2-乙基己醇	硼 酸	[11,12]
盐水中的溴盐	四溴化乙烷	溴	[13]

14.1.3 液-液萃取过程应用于有机物质的分离

液液萃取已广泛应用于分离和提纯化学工业中有机物质。早在1883年 Goering 已开始应用乙酸乙酯之类的溶剂萃取分离水溶液中的乙酸。1908年 Edeleanu首先将溶剂萃取应用于石油工业中，他用液态二氧化硫作为溶剂从煤油中除去芳香烃，逐步推广至许多精制和分离过程。至今溶剂萃取在石油化工方面的应用产量最大，每天处理量已超过60万桶。

芳烃和非芳烃的分离首先用Udex流程，以二甘醇或聚乙二醇和水的混合物为溶剂。此后用溶剂从石油轻馏份中提取苯-甲苯-二甲苯混合物的分离方法有Shell流程，Union Carbide Corp法，Institut Francais法，AROSOLVAN流程，Formex流程等。其过程所用的溶剂分别为环丁砜，乙二醇-水混合物，四甘醇，二甲基亚砜，N-甲基吡咯烷 (N-methyl pyrrolidone)，N-甲酰吗啉(N-formylmorpholine)^[5]。

除此之外，溶剂萃取还应用于：从硫酸铵溶液中萃取己内酰胺^[2]，从水溶液中萃取醋酸^[14]，从水溶液中萃取丙烯酸^[15]，从C₉芳烃异构体混合物中萃取间二甲苯^[16]，从废水中脱酚，从造纸废水氧化液中萃取香兰素，从分离丁二烯之后的C₄馏份中萃取异丁烯^[1]。

在制药工业中，例如青霉素的生产^[8,5]。青霉素是用间歇发酵生产的，过滤后的发酵液用液液萃取进行浓缩和精制，以醋酸丁酯为溶剂，萃取分为三步进行。首先用酸将水相pH调节至2~2.5，青霉素进入醋酸丁酯。然后将萃取液在pH=6时用缓冲液处理，得到青霉素富集的缓冲溶液。最后再用酸将pH调低，青霉素重新进入醋酸丁酯中，得到浓溶液，然后进一步加工制得产品。

在食品工业中，应用TBP从发酵液中萃取柠檬酸^[17, 18]。

液液萃取在有机化学工业中的应用如表1-2所示。

表1-2 有机工业中液液萃取的应用

料 液	溶 剂	萃 取 物	备 注
石油工业 煤油至润滑油沸程范围的石油馏份	液体SO ₂	芳香族和含硫化合物	Edeleanu法 ^[6,19]
石油原料 (宽馏份)	二甘醇和水的混合物	苯，甲苯和二甲苯	Udex法 ^[6,20,23]
汽油和煤油馏份	环丁砜	芳香烃	[6,21]

续表

料 液	溶 剂	萃 取 物	备 注
催化重整物, 直馏汽油或煤油	二甲基亚砜(DMSO)	芳香烃	[6,22]
润滑油	糠 醛 N-甲基吡咯烷酮	芳香烃	[24—26]
含重渣油的石蜡	丙 烷	石蜡及沥青质	[27]
低粘锭子油和高粘机器油	二氯乙烷 二氯甲烷	石 蜡	Di-Me溶剂法[19]
炼焦工业 焦炉油	二甘醇-水	芳香烃	Udex法[28]
粗焦馏物	甲醇水和己烷	焦油酸	分级萃取[29]
商品焦油酸馏份	NaOH液和甲苯	2-4和2-5二甲苯酚	解离萃取[30]
煤气水洗液	重苯溶剂油 N503	酚	[43]
油脂工业 植物油和动物脂	丙 烷	不饱和甘油酯和维生素	Solexol法[32]
植物油	糠 醛	不饱和甘油酯	[33]
医药工业 麻黄草浸渍液	苯, 二甲苯	麻黄素	[31]
含青霉素发酵液	醋酸丁酯	青霉素	[5,41]
其 他 醋酸稀溶液	乙酸乙酯	醋 酸	[35]
纸厂黑液	甲基乙基酮	甲酸与乙酸	[36]
催化裂化石油厂废水	轻催化油	酚	Phenex法[37]

14.1.4 液-液萃取过程的经济问题

对某一分离过程, 在选用液液萃取时, 应与其他可用的分离方法, 如萃取蒸馏、恒沸蒸馏等相比较, 进行技术经济指标的预评价。

液液萃取过程的经济问题; 对许多过程来说是一个重要问题, 目前有关这方面的报道不多[38—39]。Treybal[1]指出, 溶剂萃取的操作费用与设备费用、溶剂回收费用、溶剂损耗和未回收溶质的价值、劳动力等有关。在湿法冶金中, Warner[44]根据操作规模提出每吨金属的成本范围; Ritcey[45]也提出回收某些金属的成本均可参考。罗[40]指出, 溶剂萃取的经济问题可以分为二类, 即

投资费:

1. 设备;

2. 设备内物料的存储量;

主要生产费用

3. 萃取器操作费用;

4. 溶剂回收费用;

5. 溶剂损耗;

一般，溶剂损耗可由设计控制在一定的范围内，因此总费用主要是1—4项费用。对一个新的萃取过程，回收溶剂的费用是最主要的。对于萃取过程中的投资费和操作费用，也进行了估计。

在萃取工厂中，溶剂主要由于溶解，蒸发，夹带等而造成损失；在湿法冶金中，Ashbrook报道了溶剂损耗的数字，如表1-3所示。

表1-3 溶剂损失(5,42)

萃取的金属	萃 取 剂	萃取时pH值	溶 剂 损 失, ppm
Cu	Kellex100	1~2	10
Cu	LIX64N	1.5~2.0	4~15
Co	V911(Versatic acid)	7.7	100
Co	D2EHPA	5.5~6.5	30
Ni	环烷酸	4.0	90
Ni	环烷酸	6.5	900
Ni	V911	7.0	900, 300
Hf	MIBK	1.5M HCl	20,000
稀 土	D2EHPA	2.0	7
U	叔 脂	1.5~2.0	4~15
U	TBP	2.0	25~40

Hanson^[41]认为溶剂萃取过程的经济评价包括：

1. 从总的工艺过程对过程经济进行评价，而不是只考虑溶剂萃取部分。
2. 对过程中各项费用进行估价。
3. 考虑各设计变数之间的关系，以估计过程改变时对经济的影响。

为此，需要考虑以下的影响因素：工厂规模；建设场地和时间；溶剂和萃取器的选择；萃取级数；溶剂回收的方法；回流的应用等。Hanson还报道了萃取过程各项操作费用，并以浸取液中铜的萃取为例，详细阐明各单元操作费用和总的操作费用。

在液液萃取中，应使选择的溶剂对萃取组份具有较高的分离因素及最小的理论级数。但仅仅注意分离因素是不够的，还必须考虑溶剂回收的难易。所以有时选择的溶剂，虽然其分离因素不高，甚至需要增大萃取设备，但由于溶剂回收容易，费用依然可以降低，获得较好的经济效益。

参 考 文 献

- [1] Treybal, R.E., "Liquid Extraction", 2nd ed., McGraw-Hill, New York, 1963.
- [2] Hanson, C., "Recent Advances in Liquid-Liquid Extraction", Oxford, Pergamon Press, 1977.
- [3] Laddha, G.S. and T.E. Degaleesan, "Transport Phenomena in Liquid Extraction", Tata McGraw-Hill, New Delhi, 1976.

- [4] Jamrak, W.D., "Rare Metal Extraction by Chemical Engineering Technique", International Series, Monograph in Chemical Engineering Vol II, Pergamon Press, New York, 1963.
- [5] Bailes, P.J., C. Hanson and M.A. Hughes, Chem Eng. Jan. 19, 86 (1976); May. 10, 115 (1976); Aug. 30, 86(1976).
- [6] 袁承业, 化学通报, [2], 22(1977).
- [7] 冶金工业部矿冶研究所, 重有色冶炼, [2, 3], 13(1975).
- [8] 马荣骏, "溶剂萃取在湿法冶金中的应用", 冶金工业出版社, 1979.
- [9] 李以圭, 李洲, 费维扬, "液液萃取过程和设备"上册, 原子能出版社, 1981.
- [10] 江玉明, 李遵纯, 苏元复, 化工学报, [4], 910(1982).
- [11] Su, Y.F., Yu, D.Y., Chen, S.D., Proceedings, ISEC'80, Int. Solvent, Extr. Conf. V.2 ST Paper 57.
- [12] 华东化工学院分离工程研究室, 化学世界, [6], 190(1981).
- [13] Ingham, J., Chemist & Ind., 1863(1967).
- [14] Lloyd-Jones, E., Chem. Ind (London), 1590 (1967).
- [15] British Patents 995,471; 995,472; 997,888; 1,055,532.
- [16] Herrin, G.R. and Martel, E.H., Chem. Engr. included in Trans. Inst. Chem. Eng (London) No 253,319 (1971).
- [17] 江玉明, 苏元复等, 化学世界, [5], 133 (1982).
- [18] 发酵与工业, 39(8) (1981).
- [19] Springer, H. and G. Scholten, Petro. Refiner, 38(6), 239(1959).
- [20] Fenske, E.R. and D.B. Broughton, Ind. Eng. Chem., 47, 714(1955).
- [21] Broughton, D.B. and G.F. Asselin, Production of High Purity Aromatics by Sulfolane Process", Proceedings of the Seventh World Petroleum Congress, 4, 65(1967).
- [22] Choffe, B., et al., Hydrocarb. Process., 49(5), 188(1966).
- [23] 张钧, 罗象荣, 石油炼制, [2], 6 (1983).
- [24] 东方红炼油厂等, 石油炼制, [2], 12(1981).
- [25] 倪信娣, 章寿华, 苏元复, 石油炼制, [2], 30(1981).
- [26] Kemp, L.C., et al., Ind. Eng. Chem., 40 (2) 220 (1948)
- [27] Adams, G.F., et al., Hydrocarb. Process., 40 (9), 189 (1961).
- [28] Bennett, R.E., et al., Ind. Eng. Chem., 43, 1488 (1951).
- [29] Neu Worth, M.B., et al., Ind. Eng. Chem., 43, 1689 (1951).
- [30] Colbey, J., Symposium on Solvent Extraction, Institution of Chemical Engineers, Newcastle-Upon-Type, U.K. (1967).
- [31] 苏元复, 汪况等, 化工学报, [1], 24, (1958).
- [32] Passiuno, H.J. Ind. Eng. Chem., 41, 28 (1949).
- [33] Gloyer, "S.W. Ind. Eng. Chem.", 40, 228 (1948).
- [34] Zhang Bao Zang, Lu Ke Yi, et al., Hydrometallurgy, 9 (2), 205 (1982).
- [35] Othmer, D.F., Chem. Eng. Prog., 54 (7), 48 (1958).
- [36] Weaver, D.G. and W.A. Brigs, Ind. Eng. Chem., 53, 773 (1961).
- [37] Low, A.J., Chem. Eng., 75 (18), 64 (1968).
- [38] Scheibel, E.G., Chem. Eng., 64, 238, (November 1957).
- [39] Slater, M.J., Chem. Ind., 10, 393 (April 1971).
- [40] Lo, T.C., in Schneizer, P.A., ed., "Handbook of Separation Techniques for Chemical Engineers", Chap 1-10, McGraw-Hill, New York, 1979.
- [41] Hanson, C., "Basic Solvent Extraction Technology", 1981.
- [42] Ashbrook, A.W., Min. Sci. Eng., 5 (3), 169 (1973).
- [43] 无锡焦化厂, 中国科学院上海有机化学研究所, 江苏化工, [1], 58 (1978).
- [44] Warner, B.F., in Solvent Extraction Chemistry, ed. by D. Dryssen and others, North-Holland, Amsterdam, 1967.
- [45] Ritcey, G.M. and A.W. Ashbrook, Process Metallurgy i, Solvent Extraction, Principles and Applications to Process Metallurgy, Part II, Elsevier, 1979.
- [46] Chen Ming Wang, Li Quan Zhang, et al., ACS 182nd National Meeting, August 1981, New York.

14.2 非电解质溶液相平衡

14.2.1 三元体系液-液相平衡

(1) 三角座标

描写三元相图的三角座标，可用等边三角形表示。如图2-1(a)所示：其组成可以为重量百分数、体积百分数或分子百分数（或分子分数），等边三角形的一个顶点A、B、C分别表示“纯”组分。三角形各边分为100等分，在各边上的点表示二元组分，例如图中D点组成，表示一种B和C的混合物，其中含B80%，C20%，不含A。在三角形内的任一点代表一个三元组分，其组成可用三角形的边长来表示，也可用三角形的高来表示。例如点E。当用三角形边长表示时，从E点分别作三条平行于各边的直线EF、EG和EH，与各边分别相交于F、G、H点，则各条线的长度分别表示混合物中各组分的百分含量。其中EF的长度表示A组分的百分含量，EG的长度表示C组分的百分含量，EH的长度表示B组分的百分含量。即

$$x_A = \overline{EF}, \quad x_B = \overline{EH}, \quad x_C = \overline{EG},$$

$$x_A + x_B + x_C = 1,$$

因此图中E点的组成为： $x_A = 0.30$, $x_B = 0.50$, $x_C = 0.20$ 。当用三角形的高来表示时，从E点分别作三条边的垂线ER、EP、ES与各边分别相交于R、P、S点。如果以三角形的高表示100，则每条垂线的长度分别表示混合物中各组分的百分含量。其中ER的长度表示A组分的含量，EP的长度表示B组分的含量，ES的长度表示C组分的含量。

三元相图也可用直角三角形表示，直角边可以是等边的，也可以是不等边的，如图2-1(b) (c)所示。这种标绘方法使用方便，能使所标绘的曲线展开，所以亦被广泛采用。

(1.1) 双结点曲线

设一混合物由溶质和原溶剂组成，当加入另一溶剂时，如这两个组分混溶，形成一个均相溶液，这种情况在萃取中是没有意义的。要使萃取得以实现，必须形成互不相溶的相，如下几种：

型式1：形成一对部分互溶的液相；

型式2：形成一对部分互溶的液相；

型式3：形成三对部分互溶的液相；

型式4：形成固相。

在一定温度下，形成一对部分互溶的液相，这一情况比较典型，如乙醇(A)-苯(B)-水(C)，如图2-2所示。图中曲线DNPLE的面积外的点，表示该组分的混合物是均相。在上述曲线内和DE线上的任意点表示都可形成两个不同组成的相。

曲线DNPLE表示饱和溶液，称之为双结点曲线或溶解度曲线。在曲线DNPLE之内，总组成为M的一个混合物，将形成一个互不相溶的液相。其组成分别为L和N。因此，在分相区内，任一个物系都将分为两个液相，在一定温度下，两相处于平衡状态，这两个液相称之为共存相（或共轭相）。两共存相的组成，分别以双结点曲线上的点来表示。将分相区表两个共存相组成的点连结起来，得到的一条直线称为结线，如图中LN。

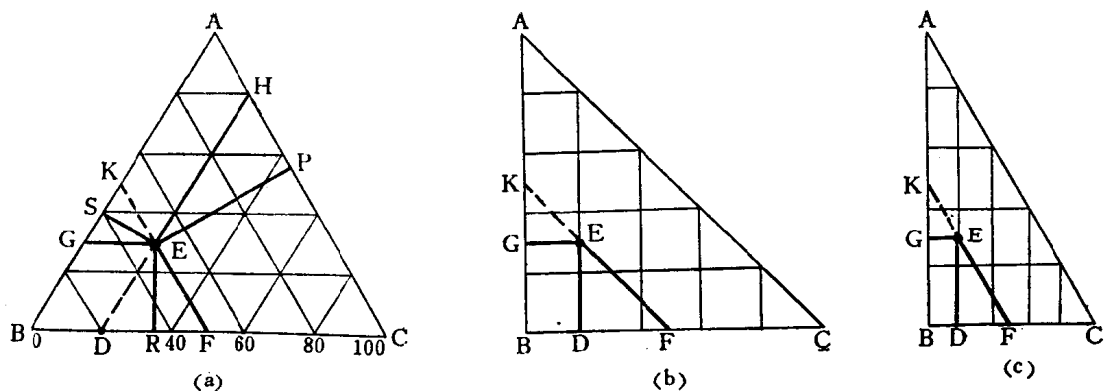


图 2-1 三元相图

(a) 等边三角形 (b) 等腰直角三角形 (c) 不等腰直角三角形

形成二对部分互溶液相的，有甲基环己烷(A)-正庚烷(B)-苯胺(C) 和甲基乙基酮(A)-氯苯(B)-水(C)等，如图2-3所示。

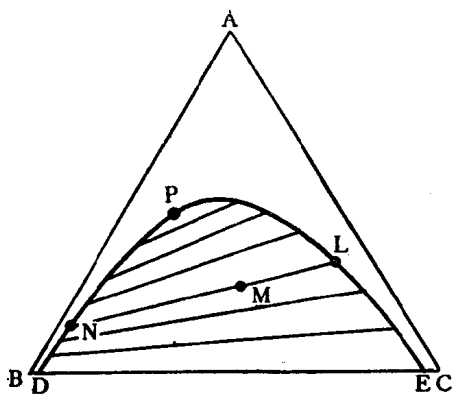


图 2-2 型式 1 三元相平衡图

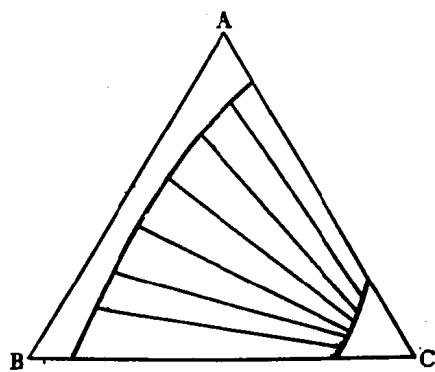


图 2-3 型式 2 三元相平衡图

(1.2) 褶点

三元相图中的褶点，又称为临界混溶点，它位于溶解度曲线上，在这一点上两共存相组成相同，如图2-4中的P点。在褶点时两共存相消失而成为均相，因此三元混合物在褶点处不能用萃取方法进行分离。

褶点的位置可以用以下二种作图方法来确定：

1. 在三元相图中，如果DE是结线，通过D点作DG线平行于AC，通过E点作EF平行于AB，两线相交于H，因此根据这一方法，由结线画平行线，就可得到PHJ一根辅助线，辅助线与溶解度曲线相交于P点，即为褶点，如图2-4(a)。

2. 如果DE是结线，通过D点作DH平行于BC，通过E点作EH平行于AB，得交点H。连接各结线作图的交点，得PHJ，由这根辅助线同样可得褶点P，如图2-4(b)。

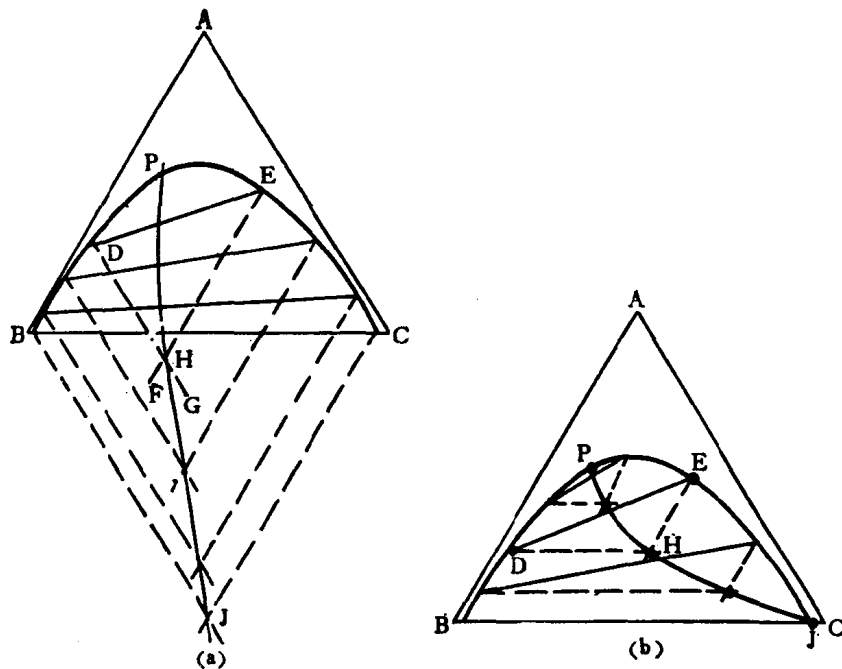


图 2-4 滴点位置的确定

(a) 图解法 1 (b) 图解法 2

(1.3) 结线

如前述，在部分互溶区内，两个共存相组成点的连接线，称之为结线，如图 2-5。组成为M点的三元混合物，在恒温条件下静止分层，则将形成N和D两个液相，分别分析N和D两个液相的组成，就能确定N和D两点在三元相图中的位置，连接ND，就得到M组成的一根结线。按照上述方法，就能得到一系列的结线，从而绘出三元体系的双结点曲线。

如果两个液相中的组分分析比较困难，这时可以分别采用液相比重或折光率的变化测定双结点线，也可用其他方法测定双结点曲线，例如混合物K的组成已知，在恒温条件下将该混合物用纯组分C来滴定，当滴入的纯组分C达到某一值时，如组成恰好在溶解度曲线L上，则可观察到溶液开始发生混浊。由滴定的溶液量，就可计算出L的组成。这样，可以测出双结点曲线B相的一边，直至曲线上A的最大溶解度为止。双结点曲线C相一边，同样可用B来滴定A和C的混合物。

图中M点所形成两个共轭液相的量，可用杠杆定律来决定，即：

$$\frac{N(\text{相对重量})}{D(\text{相对重量})} = \frac{\overline{MD}}{\overline{NM}}$$

式中 \overline{MD} , \overline{NM} 为图中线的长度。

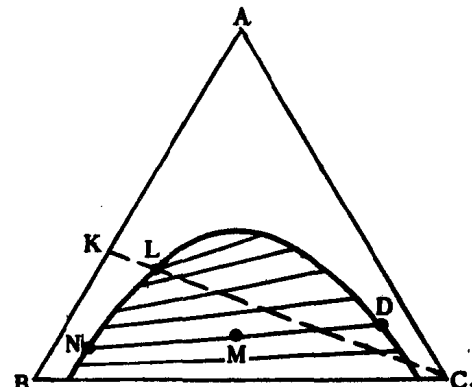


图 2-5 结成（三元平衡数据）测定方法

(1.4) 分配系数

根据Nernst提出的分配定律：

当某一溶质在基本上不相混溶的两个溶剂中分配时，于一定的温度下，两相达到平衡后，如果溶质在两相中的分子量相等，则在两相中溶质的浓度比为一常数，且此比值不随溶质浓度的变化而改变。

用公式表示这一平衡关系为：

$$\Lambda = \frac{[A]_2}{[A]_1} \quad (2-1)$$

式中 Λ 为分配系数或称分配常数， $[A]_1$, $[A]_2$ 分别表示被萃取组分 A 在水相和进行萃取的有机相中的平衡浓度。实际上只有当被萃取组分在溶液中浓度极低，又在两相中分子状态相同，并在一定的温度下， Λ 才能为常数。

又据热力学理论，在恒压恒温下，当被萃取组分在两相达到平衡时，其化学势必相等：

$$\mu_1 = \mu_2 \quad (2-2)$$

μ_1 , μ_2 分别代表两相平衡后的化学势。而被萃取组分在每一相中的化学势与其活度 a 有如下的关系：

$$\begin{aligned} \mu_1 &= \mu_1^0 + RT \ln a_1 \\ \mu_2 &= \mu_2^0 + RT \ln a_2 \end{aligned} \quad (2-3)$$

式中 μ_1^0 , μ_2^0 ——分别为被萃取组分在两相中的标准化学势

R——常数

T——温度, K

将 (2-3) 式代入 (2-2) 式中得到：

$$\mu_1^0 + RT \ln a_1 = \mu_2^0 + RT \ln a_2 \quad (2-4)$$

$$\Lambda^0 = \frac{a_2}{a_1} = e^{-(\mu_2^0 - \mu_1^0)/RT} = \frac{[A]_2 \gamma_2}{[A]_1 \gamma_1} = \Lambda \frac{\gamma_2}{\gamma_1} \quad (2-5)$$

式中 Λ^0 称为 Nernst 热力学分配常数。如果两种溶剂是完全不相混溶的，则式 2-5 中的指数部分为一常数，所以 Λ^0 是一常数。 γ_1 , γ_2 分别代表 A 在两种溶剂中的活度系数。因此， Λ 只是近似常数，只有 γ_2/γ_1 趋近于一时， Λ 才等于热力学分配常数 Λ^0 ，而一般工艺研究和工业生产中所处理的物料的含量是比较高的，不可能是低浓度的；而且在复杂的体系内，被萃取组分将因离解，缔合，水解，络合等多种原因而在两相中以不同的状态存在。因此在实际过程中，在大多数情况下，被萃取组分在两相平衡分配浓度的比值不可能保持为一常数，而是随被萃取组分的浓度变化而改变的。由实验测定的平衡浓度的比值也并不是平衡常数。为此，引入分配系数或称之为分配比，以 m 或 D 表示，来表征被萃取组分在两相的平衡分配关系。

被萃取组分 A 在水相和有机相之间的分配系数 m_A 可用下式表达：

$$\begin{aligned} m_A &= \frac{[A]_{(o)} \text{总}}{[A]_{(w)} \text{总}} = \frac{\text{平衡时有机相中被萃取组分 A 的所有各种化学形式的总浓度}}{\text{平衡时水相中被萃取组分 A 的所有各种化学形式的总浓度}} \\ &= \frac{[A_1]_o + [A_2]_o + \cdots + [A_n]_o}{[A_1]_w + [A_2]_w + \cdots + [A_n]_w} \end{aligned}$$

式中 $[A_i]_o$ 和 $[A_i]_w$ 等分别代表被萃取组分 A 在有机相和水相中的不同化学形式的平衡浓度。

在实际应用中，分配系数（分配比）较分配常数具有更实用的价值，它易于由实验测定。

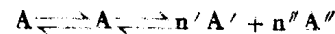
分配系数的表示可分为以下几种情况：

(1.4.1) 两相中溶质A分子不变化

分配系数为：

$$\frac{X_{AC}}{X_{AB}} = m_A \quad (2-6)$$

(1.4.2) 在B(原溶剂)相中溶质A离解，在C(溶剂)相中分子不变化



(C相) (B相)

若以未离解的溶质A分配来表示平衡时，分配系数为：

$$m_A = \frac{(A)_C}{(A)_B} = \frac{X_{AC}}{X_{AB}} \quad (2-7)$$

式中 m_A —— 用未离解的溶质A分子来表示的分配系数

$(A)_B$ —— 在B相中未离解的A浓度，mol/l

若B相中溶质A的浓度是以总浓度 $(A_T)_B$ ，即包括未离解的和离解的溶质浓度时，设 α 为溶质A离解的分率，则 $(A)_B = (A_T)_B(1 - \alpha)$ ，分配系数为：

$$m'_A = \frac{(A)_C}{(A_T)_B(1 - \alpha)} = \frac{X_{AC}}{X_{AB}(1 - \alpha)} = \frac{m_A}{1 - \alpha} \quad (2-8)$$

式中 $m'_A = (A)_C / (A_T)_B$ ，即按总浓度计算的分配系数。根据质量作用定律，离解常数可定义为

$$K_d = \frac{(A')_B^{n'} (A'')_B^{n''}}{(A)_B} = \frac{(n' \alpha (A_T)_B)^{n'} (n'' \alpha (A_T)_B)^{n''}}{(A_T)_B(1 - \alpha)} \quad (2-9)$$

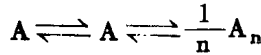
由式(2-8)和式(2-9)得^[1]：

$$m'_A = \frac{m_A (n')^{n'} (n'')^{n''} (\alpha (A_T)_B)^{n'+n''-1}}{(n')^{n'} (n'')^{n''} (\alpha (A_T)_B)^{n'+n''-1} + K_d} \quad (2-10)$$

若A是一价电解质，上式可化简为：

$$m''_A = \frac{m_A \alpha (A_T)_B}{\alpha (A_T)_B + K_d} \quad (2-11)$$

(1.4.3) B相中分子不变化，C相中分子缔合



(B相) (C相)

设 α' 为C相中溶质分子缔合的分率， $(A_T)_C$ 为溶质总浓度，则未结合的溶质浓度为 $(A)_C = (A_T)_C(1 - \alpha')$ ，结合的溶质浓度 $(A_n)_C = \alpha' (A_T)_C / n$ ，根据质量作用定律，结合常数 K_a 为：

$$K_a = \frac{(\alpha' (A_T)_C / n)^{1/n}}{(A_T)_C (1 - \alpha')} \quad (2-12)$$

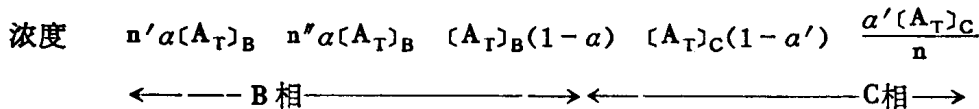
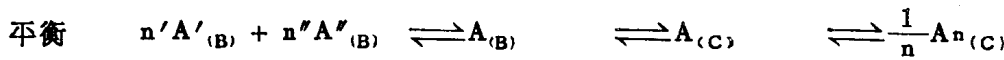
未结合溶质 A 的分配系数为：

$$m'_A = \frac{[A_T]_C(1 - \alpha')}{[A]_B} = \frac{(\alpha'[A_T]_C/n)^{1/n}}{K_a[A]_B} \quad (2-13)$$

则 $\frac{(\alpha'[A_T]_C)^{1/n}}{[A]_B} = m'_A K_a n^{-\frac{1}{n}}$ (2-14)

(1.4.4) B 相离解, C 相缔合

平衡和各组分的浓度为：



式中 α 和 α' 分别为离解 (B 相) 和缔合 (C 相) 的分率，分配系数为：

$$m'_A = \frac{[A_T]_C(1 - \alpha')}{[A_T]_B(1 - \alpha)} \quad (2-15)$$

或

$$m'_A = \frac{X_{AC}(1 - \alpha')}{X_{AB}(1 - \alpha)} \quad (2-16)$$

分配系数的数值，对萃取操作有很大的影响，分配系数愈大，即表示被萃取组分在有机相中的浓度越大，也就是越容易被萃取，反之亦然。极端的情况是 $m_A = 0$ ，表示完全不被萃取， $m_A = \infty$ ，表示完全被萃取。这两种情况在实际萃取过程中是不可能存在的。因此分配系数是液液萃取中的重要参数之一。结线斜率和分配系数的关系如图 2-6 所示。

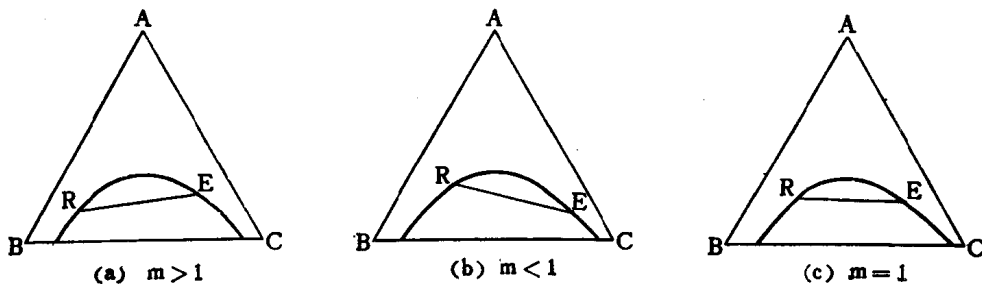


图 2-6 结线与分配系数的关系

(1.5) 温度影响

温度改变，双结点曲线的形状和分层区的大小也随之变化，如图 2-7 所示。当温度由 t_1 增加至 t_5 时，通常组分间的溶解度增加，分层区缩小，如果温度继续增加，分层区甚至可以消失。

对甲基环己烷 (A)-正庚烷 (B)-苯胺 (C)，其双结点曲线如图 2-8，由此说明，当 $t_3 \geq 34.5^\circ\text{C}$ ，物系属于型式 1，当温度低于 34.5°C 时，物系就属于型式 2。

图 2-9 所示为硝基苯 (A)-甲醇 (B)-异辛烷 (C) 物系，温度对物系的影响更复杂。

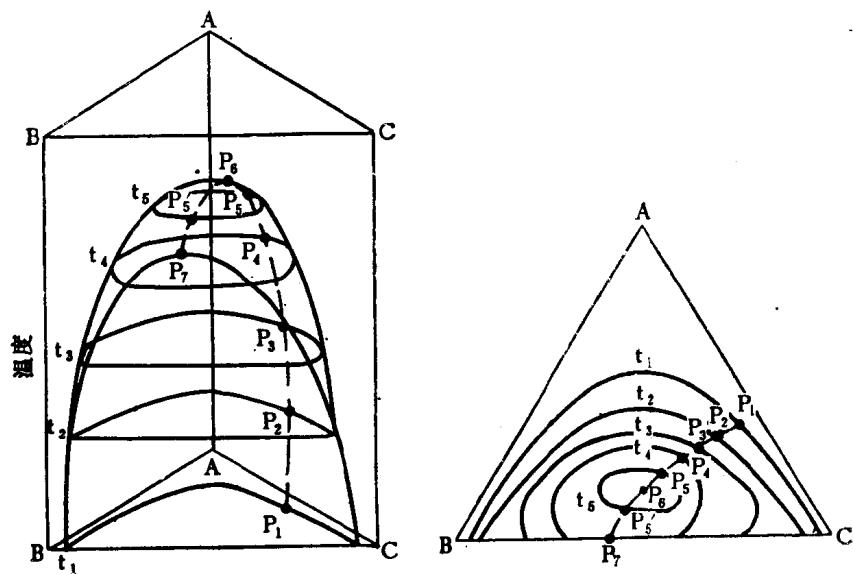


图 2-7 温度对于分层区域大小的影响

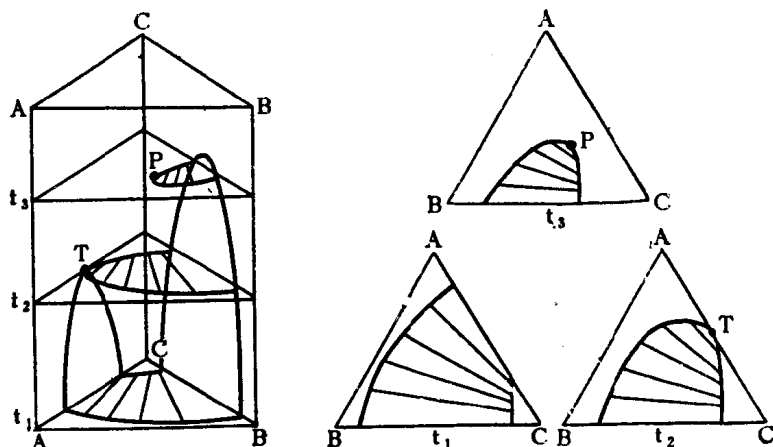


图2-8 型式1体系演变成型式2

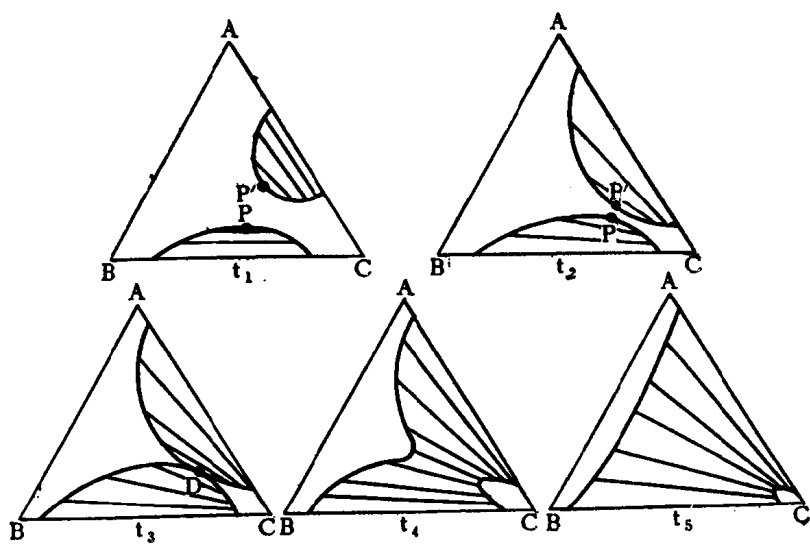


图2-9 型式2体系的演变

(一) 固体溶质在均相相中分配的相图

二元体系有固相存在的情况一般比较复杂，以下讨论液液萃取中几种简单情况。

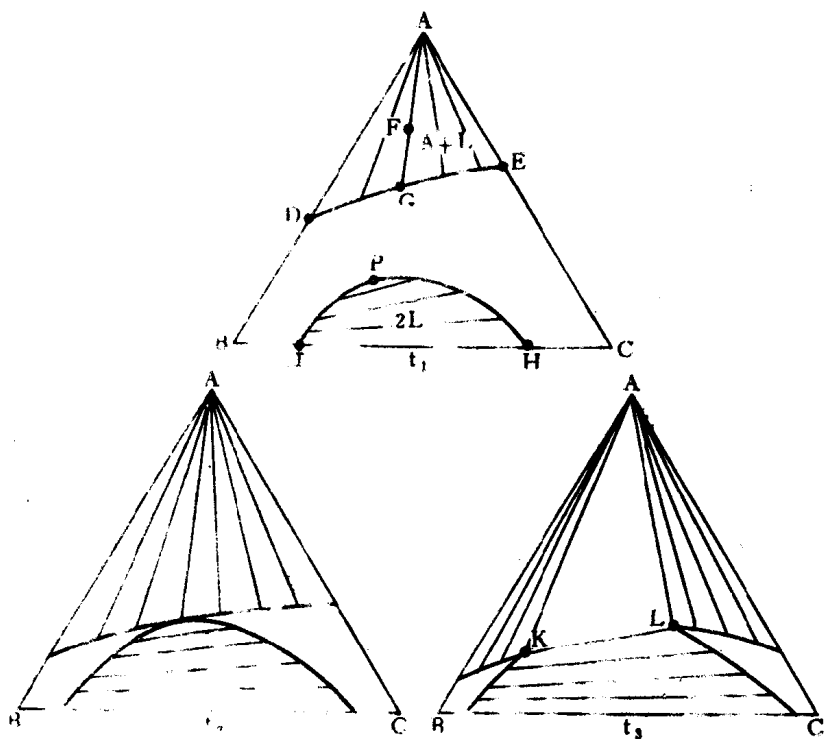


图2-10 含有固相的相平衡图

图2-10为简单的含有固相的三元相图，在温度为 t_1 时，BC组分为液相，且为部分互溶，在固相A在纯组分B和C中的溶解度分别由D和E表示。A在BC混合物中的溶解度则由DE连线表示。因此当二元混合物为F时，

将形成一个饱和溶液L和固体A。在两个液相平衡的情况下，其溶解度曲线为JPH，类似型（a）的体系。因此含有一个液相的面积将分成两个非共轭区域。当温度降低至 t_2 时，二元体系的溶解度降低，并向相区扩延，并接近相遇。在更低的温度 t_3 时，双曲线与液相曲线被固体溶解度曲线所中断，在△ABC内的二元混合物形成三相，固体A和饱和液相K和L。如物系系：A：丙酮(B)：异辛烷(C)。

在某些体系中，如图2-11，两个液相面积并不扩展至BC轴。温度降低将增加两个液相区，直至BC组分在临界溶解温度下，褶点P与BC轴相接触。温度进一步降低，三元相图外形就变成相似于图2-10(t_3)时的图形。

当有水合物或类似溶剂化合物形成时，三元相图就变得更复杂，如图2-12所示。N点是醇中的饱和水溶液与水化物盐呈平衡，而盐在醇中的溶解度是非常小的，如P点。如果有足够的乙酸碳酸盐加入到醇-水溶液(M点)中去，那么就产生一个混合物(D点)，物系在平

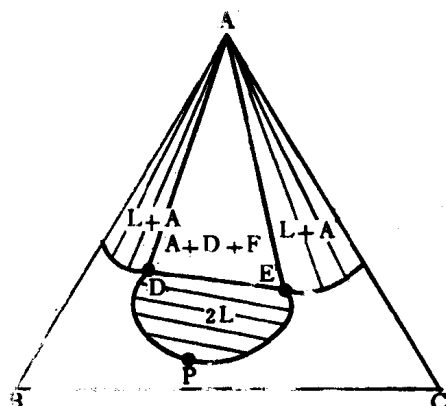


图2-11 盐析出固体的三元相平衡图

衡时形成了一个液相。如果物系加入更多的无水碳酸盐至E点，平衡的相是溶液F、G和固体水化物。若继续加入碳酸盐，使物系在H点，平衡的相是固体无水碳酸盐、固体水化物和饱和溶液J。在J点的溶液蒸发，则溶液的蒸汽冷凝后为K点。

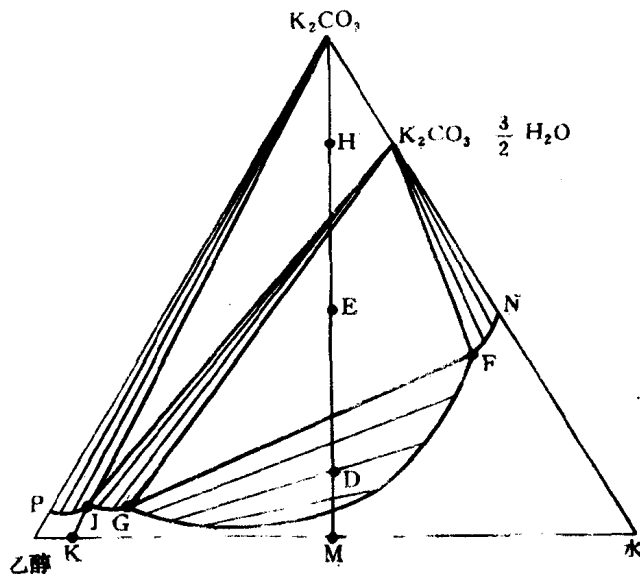


图2-12 碳酸钾-乙醇-水三元相图

(1.7) 特殊三元相图和温度影响

三元平衡与温度之间的关系可用三棱柱表示。其中棱柱高表示温度。图2-13表示某一物系，在温度高时为型式1体系，随着温度的降低，逐渐变成型式2体系。该图的水平截面表示三元组分的等温线。温度愈低，双结点曲线扩展。图中这些双结点曲线的褶点的连线称为“褶点线”^[2]。

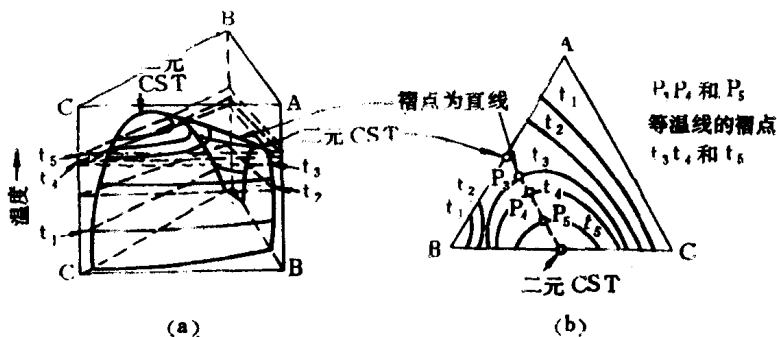


图 2-13
a. 温度-组成关系的三棱柱图 b. 等温线

有些物系，在温度较高时，褶点线不是直线。如果褶点线是上凸的，则在相同温度下，有两个临界溶解温度点，在此范围内的等温线将是一个“封闭的曲线”，而褶点线的波峰就是三元临界溶解温度（图2-14(a))。在三元临界温度线以下的等温线表示一个封闭曲线，如图2-14(b)。如果褶点线是下凹的，在接近水平面的二元溶解度曲线的顶点，如图2-15(a)，这时只要温度略低于二元临界溶解温度，等温线将有两个双结点曲线。如图2-15b。当温度进一步降低时，两个双结点曲线的面积扩展，其褶点将彼此接近于鞍形点，在这一范围内，随着温度的进一步降低，两个双结点曲线连接在一起，最后成为一个单一的非均相区^[2]。

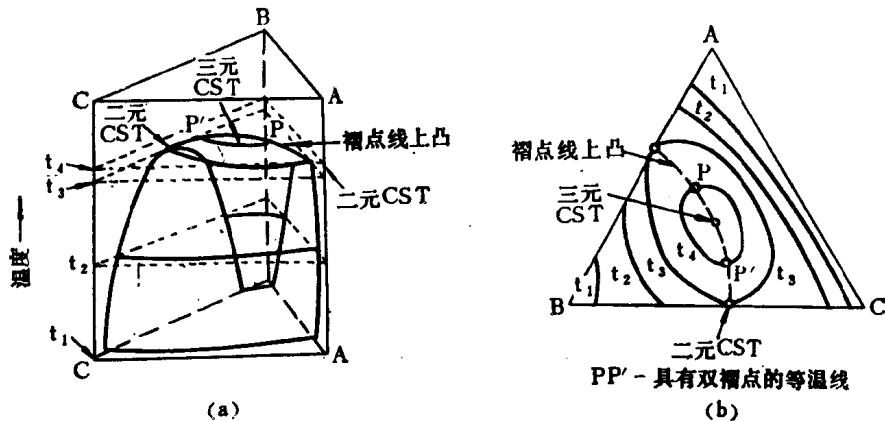


图2-14 具有两个相点的三元体系

a.三棱柱图; b.等温线和三元临界混溶点

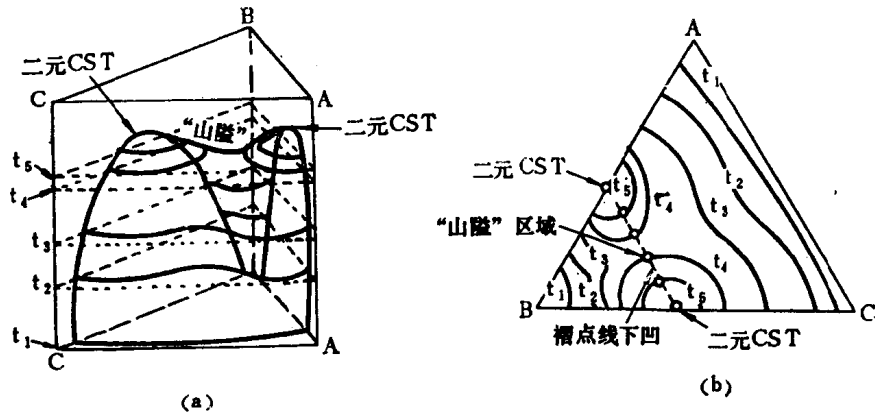


图2-15

a.形成两个双结点曲线体系的三棱柱图; b.等温线和鞍形区域

图2-16表示具有三个双结点曲线的三元体系（型式3体系），其中a为正三棱柱图，b为等值图，图中还表明有一个主相点线（向下凹）和一个支相点线^[2]。

Francis^[43]给出了各种型式的相图。

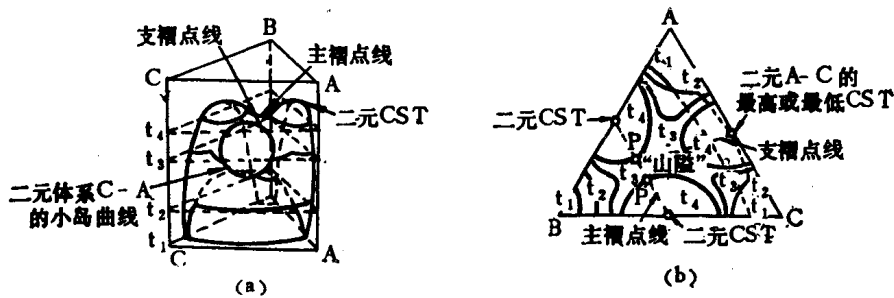


图2-16

a.形成型式3体系的三棱柱图; b.三元相图